

# 尉家小堡遗址石制品的初步研究

宋艳花<sup>1</sup>, 石金鸣<sup>2</sup>

(1. 山西大学历史文化学院考古系, 太原 030006; 2. 山西省考古研究所, 太原 030001)

**摘要:** 山西北部桑干河中游的尉家小堡遗址, 是华北地区以细石器加工技术为特征的旧石器时代晚期遗址, 石制品岩性以硅质岩和火山角砾岩为主。细石核全部为楔形石核, 显示出一套较为成熟而稳定的制坯及剥片工艺, 包括软锤修整楔状缘、压制产生细石叶等。石器类型全部为刮削器。5.6% 的拼合率说明此处为原地埋藏遗址。通过与同时代桑干河流域的其他遗址石制品的比较和遗址出土较精致的穿孔骨制品的现象判断, 此遗址的年代应在旧石器时代晚期之末。

**关键词:** 细石器; 拼合; 旧石器时代晚期之末; 尉家小堡遗址

中图分类号: K871.11 文献标识码: A 文章编号: 1000-3193 (2008) 03-0200-10

## 1 地理位置、地貌和地层堆积

尉家小堡村属山西省大同市阳高县东小村镇, 尉家小堡遗址处于神泉堡村南 1500m、尉家小堡村西北 1000m 的神泉沟左岸(图 1)。该遗址于 1996 年 7 月由山西省考古研究所进行了系统调查和试掘, 出土丰富的文化遗物, 包括一批破碎的烧骨、化石和一件精致的骨质穿孔装饰品, 以及 572 件石制品。

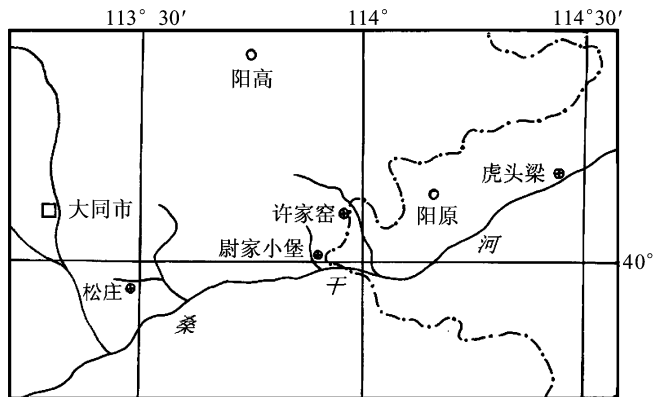


图 1 尉家小堡遗址地理位置图  
Geographical position of Yujiaxiaobu site

收稿日期: 2007-04-25; 定稿日期: 2007-11-03

基金项目: 山西大学人文社会科学科研基金(0509003)

作者简介: 宋艳花(1977-), 女, 山西孝义人, 山西大学历史文化学院讲师, 主要从事旧石器时代考古学研究。E-mail: songyh@sxu.edu.cn

神泉沟为桑干河中游的一条支沟,其左岸发育了两级阶地。第二阶地以中更新世泥河湾层为基座,之上平行不整合叠压了晚更新世黄土状堆积,整个阶地高 8m。其地层剖面上而下概述如下(图 2):

1. 浅褐色砂质黄土:质地疏松,厚 0.5m。
2. 浅褐色砂质黏土:底部 15cm 含石制品,1 和 2 层逐步过渡,共厚 1.1m。  
~~~~~平行不整合~~~~~
3. 褐色砂质黏土层:质较密,厚 1.2m。
4. 钙质结核:灰黄色,片状排列,局部为钙板,平均厚 4cm。
5. 灰白、灰绿色黏土:中部夹黄色细砂层,总厚度约 3.1m。
6. 黄褐色细砂层:局部有交错层理,厚约 0.5m。
7. 灰褐色黏土层:可见厚度约 2m。

文化遗物就发现于第二级阶地前缘的底部 15cm 厚的黄土堆积中。

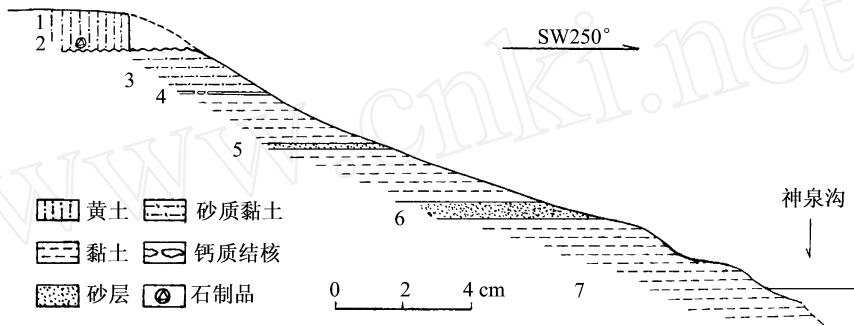


图 2 尉家小堡遗址地层剖面图 Geological section of Yujiaxiaobu site

## 2 石制品的观察与分析

### 2.1 石料

石制品的原料以硅质岩(47.20%)和角砾岩(41.61%)为大多数,还有少量石英岩和黑色、红色、褐色、黄色燧石等。

调查发现,燧石石料在桑干河北部山地始新统灰泉堡组的地层中都有出露,且沿着由北而南的冲沟或河流一直分布到桑干河。而尉家小堡遗址中燧石所占比例仅为 21 件,占到所有石料的不到 4%。据最新调查得知,硅质岩、角砾岩等火山岩和变质岩在桑干河流域以南元古界震旦系和中生界侏罗系地层中集中分布,在以遗址为中心的 10km 范围内是可以采集到的。

石制品都没有自然石皮,其中占比例最大的硅质岩石料,节理发育,遗址中利用节理的石片也很多,说明当时的古人类已经有意识地去原始地层中采集石料。

### 2.2 石制品

打片主要用锤击法,偶用砸击法。石制品包括石核、石片、细石核、细石叶、石器、断块和碎屑(表 1)。

表 1 尉家小堡出土石制品岩性统计表

Frequencies of artifacts lithology from Yujiaxiaobu site

| 岩性   | 石核     | 石片      | 细石核    | 细石叶    | 刮削器    | 断片(块)   | 碎屑      | 总数  | 百分比     |
|------|--------|---------|--------|--------|--------|---------|---------|-----|---------|
| 硅质岩  | 6      | 125     | 7      | 3      | 5      | 54      | 70      | 270 | 47.20 % |
| 角砾岩  | 4      | 108     | 5      | 12     | 2      | 11      | 96      | 238 | 41.61 % |
| 石英岩  | 1      | 7       |        |        | 1      | 7       | 3       | 19  | 3.32 %  |
| 黑色燧石 |        | 7       | 1      |        | 1      |         | 3       | 12  | 2.10 %  |
| 褐色燧石 |        | 1       |        |        |        |         | 3       | 4   | 0.70 %  |
| 红色燧石 |        |         |        |        | 1      | 1       |         | 2   | 0.34 %  |
| 黄色燧石 | 1      | 1       |        |        |        |         |         | 2   | 0.34 %  |
| 白色燧石 |        | 1       |        |        |        |         |         | 1   | 0.18 %  |
| 片麻岩  |        |         |        |        | 1      |         |         | 1   | 0.18 %  |
| 玛瑙   |        |         |        |        | 1      |         |         | 1   | 0.18 %  |
| 其他   |        | 8       |        | 2      |        | 5       | 7       | 22  | 3.85 %  |
| 总数   | 12     | 258     | 13     | 17     | 12     | 78      | 182     | 572 |         |
| 百分比  | 2.10 % | 45.10 % | 2.27 % | 2.97 % | 2.10 % | 13.64 % | 31.82 % |     | 100 %   |

2.2.1 石核

仅 12 件,约占石制品总数的 2.10%。石核大小不等。由于石料多具节理,石核上或多或少保留节理面;石片疤也多数短而宽,中途折断或沿节理方向剥落的现象极普遍,因此石核多台面打片,利用率很高。特别如硅质岩石核 Y008(图 3:1),长宽厚分别为 7.8 × 2.9 × 1.8cm,片疤几乎遍布全身且局部呈阶梯状分布,Y009(图 3:2)、Y010(图 3:3)为打片时产生的节理断块,Y048(图 3:4)为此石核锤击产生的薄石片,可拼合。另有一件两极石核 Y003(图 3:5)与砸击产生的两极石片 Y004(图 3:6)可拼合。

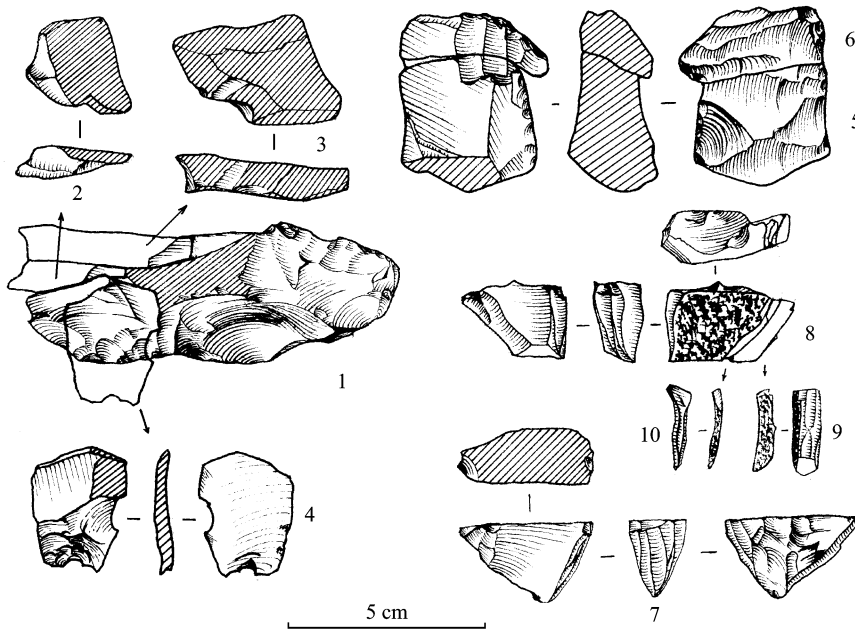


图 3 石核和细石核 Cores and Microcores

1. Y008; 2. Y009; 3. Y010; 4. Y048; 5. Y003; 6. Y004; 7. Y006; 8. Y014; 9. Y043; 10. Y015

### 2.2.2 石片

共 258 件,占石制品总量的 45.10%。石片多软锤技术或压制技术的产物,产生石片较薄,台面较小,打击泡不明显,此类石片共 126 件,占有石片的 48.84%。另外由于石料节理发育,能明确判断为利用节理面为台面的石片共计 34 件,占石片总量的 13.18%。本文为研究需要,据石片的大小,将最大径不大于 1cm 者归入碎屑。

### 2.2.3 细石核

共 13 件,占石制品总量的 2.27%。据观察和分析,将其全部归入楔形石核。细石核中只有一件为自然节理台面,其余均为特意打制台面,有明显修理打片痕迹;而且打剥细石叶往往不成功,于是重新修理台面或更换台面现象普遍;重新选择台面后,有的继续剥片;有的剥片失败而依据形状加工成石器;有的剥片失败最后废弃。

楔形石核又可分为固定台面石核与修整台面石核两种。

固定台面楔形石核共 2 件。Y006(图 3:7)利用自然节理为单一固定台面打剥细石叶至少 10 片,有两边同时剥片的痕迹,加工技术似下川细石核;Y014(图 3:8)则以锤击石片疤为固定台面,在石核两边进行剥片,且通过拼合可复原其剥片的部分程序,即剥片面的修整产生石片 Y043(图 3:9)、修整后继续压制产生细石叶 Y015(图 3:10)。

修整台面楔形石核根据毛坯加工的不同可分为两种,即双面加工毛坯的楔形石核和单面加工毛坯的楔形石核。

前者是一种较为特殊的楔形石核。通过对保留有原始台面的楔形石核的观察,可分析其制作过程:以锤击石片为毛坯,经两面加工,使楔状缘呈凸弧刃状,石片近端与上刃状缘成锐角相接,然后从石片远端先打出一倾斜台面,再边压制细石叶边修理台面以连续剥片。出土的更多此系列遗物也给我们显示出一幅动态的楔形石核工艺过程:Y033(图 4:1)为细石核毛坯,Y025(图 4:2)只剥离一片细石叶,产生第一个剥片疤,Y016(图 4:3)连续剥片,直到由于石核太小或细石叶中途崩落而废弃,Y020(图 4:7)则在细石叶崩断后修整剥片面时废弃,打下的石片依形加工成较为精致的刮削器 Y019(图 4:6)。

此系列的楔形石核中只有 1 件 Y033(图 4:1)为黑色燧石,其余均为硅质岩,而且遗址中不存在该石料的石片、碎屑或压制的细石叶,显然毛坯不是在此发掘范围内打制的,但本文认为即使它是在别处加工制作的毛坯,也应该是同一群主人制作,加工地点也不会太远,代表了以尉家小堡遗址为中心的该区域楔形石核的特色加工工艺。在桑干河流域的虎头梁遗址<sup>[1]</sup>和籍箕滩遗址<sup>[2]</sup>中,也有类似的楔形石核发现。

单面加工毛坯的楔形石核,按照打制技术实际上应当归属于双面加工毛坯,只是在制坯过程中借用了一个石片面,剥片台面依然显示出随时修整的迹象。本文将其单独划分,并解释为“权宜性剥片”。观察发现很多剥片都以失败告终,所以往往寻找合适的石片,经粗略加工后临时剥片,如上述 Y012(图 4:8)和 Y013 组合(图 4:9),重新选择台面后继续剥片,体现出石料的局限和对有限石料的充分利用。

### 2.2.4 细石叶

共 17 件,约占全部石制品的 2.97%。其中 15 件为硅质岩或角砾岩,Y015(图 3:10)和 Y018(图 4:5)还可与细石核拼合,另有 2 件打制规整的细石叶,遗址却没有出土相应石料的细石核。

### 2.2.5 断块

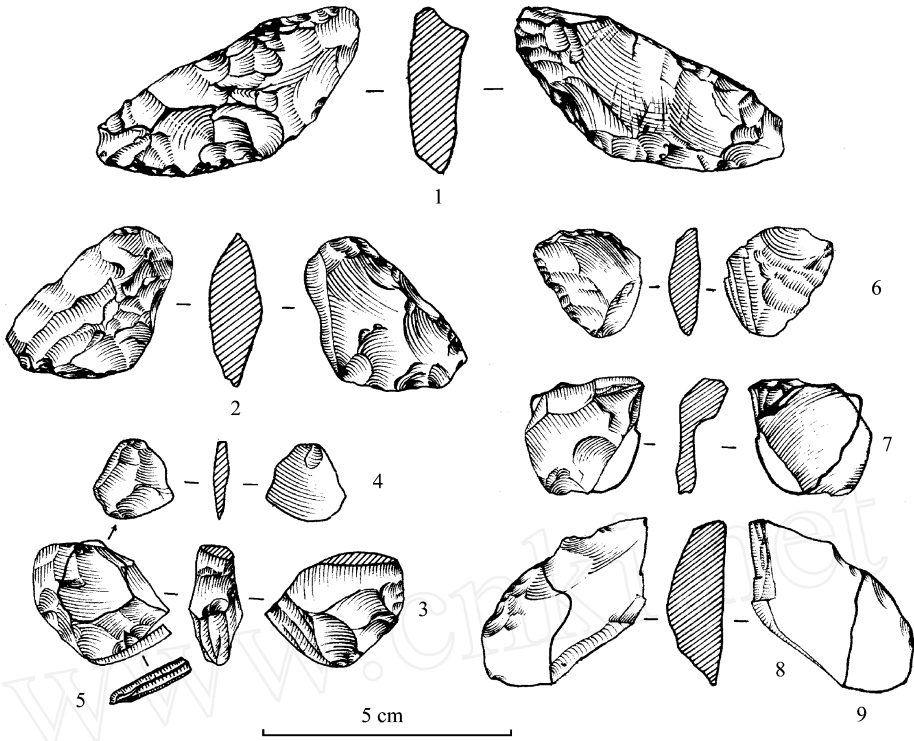


图 4 细石核 Microcores

1. Y033; 2. Y025; 3. Y016; 4. Y017; 5. Y018; 6. Y019; 7. Y020; 8. Y012; 9. Y013

共 78 件, 约占全部石制品的 13.64%。其中相当一大部分为节理断块。

2.2.6 碎屑

共 182 件, 约占全部石制品的 31.82%。多是预制细石核或加工石器时压制产生, 少数为沿节理破碎而形成。碎屑小而薄, 最大径和厚度的比例在 5/1—8/1 之间。

2.2.7 石器

共 12 件, 占石制品总数的 2.10%, 全部为刮削器。石器统计(表 2)和描述如下:

观察分析, 刮削器全部由石片加工而成, 其第二步加工使用压制技术, 石片疤细长而浅远, 刃缘也较为齐整。值得注意的: Y019(图 4:6)在打制之初处于细石核的废弃阶段, 而 Y034(图 5:2)则原为自然节理石片, 表明当时人们已懂得随机而合理地充分利用石料; 而且占到石料总量 88.9% 的硅质岩和角砾岩中只有 3 件刮削器, 另 5 件都为其他石料制成; 与此相反, 13 件楔形石核中的 1 件、17 片细石叶中的 2 件为其他石料制成, 其余全部为硅质岩和角砾岩质产品。由此分析, 此地点主要为硅质岩和角砾岩石料的加工场所, 且楔形石核的制作为此遗址加工的重要内容, 楔形石核的成熟的制作工艺也成为此地的重要特色。

除硅质岩和角砾岩外, 遗址中也出土其它石料的成品石器, 却不见同类石料打片产生的石片及碎屑, 可能是由于发掘面积的局限, 也可能成型工具为异地加工后携入的原因, 比如黑色石料的刮削器 Y032(图 5:1)和楔形石核毛坯 Y033(图 4:1), 其表面的打片修整痕迹极不清晰, 尤其刃缘磨损严重, 与遗址中其他原料上清晰的打片痕迹形成鲜明对比, 是否为长期携带或经过使用的结果, 还有待以后深入研究。

表 2 尉家小堡遗址刮削器的分类测量与统计

Classes, measurements and frequencies of the scrapers from Yujiaxiaobu site

| 编号   | 岩性  | 刃缘形态 | 毛坯   | 加工方向 | 长度 (mm) | 宽度 (mm) | 厚度 (mm) | 边刃角 (°) | 端刃角 (°) |
|------|-----|------|------|------|---------|---------|---------|---------|---------|
| Y019 | 角砾岩 | 双边刃  | 锤击石片 | 正向   | 24.2    | 18.3    | 6.2     | 47.0    |         |
| Y021 | 硅质岩 | 单边直刃 | 锤击石片 | 单向   | 21.5    | 16.3    | 11.4    | 71.2    |         |
| Y026 | 燧石  | 单边直刃 | 锤击石片 | 正向   | 20.8    | 12.9    | 3.6     | 48.5    |         |
| Y027 | 玛瑙  | 单边直刃 | 锤击石片 | 正向   | 28.3    | 22.2    | 11.4    | 51.2    |         |
| Y030 | 石英岩 | 单边直刃 | 锤击石片 | 正向   | 28.1    | 22.9    | 9.7     | 54.1    |         |
| Y031 | 燧石  | 单边弧刃 | 锤击石片 | 正向   | 16.2    | 18.2    | 6.1     | 70.5    |         |
| Y032 | 燧石  | 远端直刃 | 锤击石片 | 正向   | 26.4    | 47.8    | 13      |         | 67.6    |
| Y034 | 硅质岩 | 单边直刃 | 节理石片 | 复向   | 45.2    | 28.5    | 4.8     | 53.3    |         |
| Y044 | 硅质岩 | 单边直刃 | 锤击石片 | 正向   | 43.7    | 22.6    | 11.2    | 56.3    |         |
| Y045 | 硅质岩 | 多边刃  | 锤击石片 | 复向   | 55.1    | 38.2    | 19.9    | 54.8    |         |
| Y046 | 硅质岩 | 多边刃  | 锤击石片 | 复向   | 60.1    | 36.8    | 17.5    | 53.2    |         |
| Y047 | 角砾岩 | 多边刃  | 锤击石片 | 复向   | 45.9    | 27.5    | 10.5    | 47.9    |         |
| 平均值  |     |      |      |      | 34.6    | 26.0    | 10.4    | 55.3    | 67.6    |

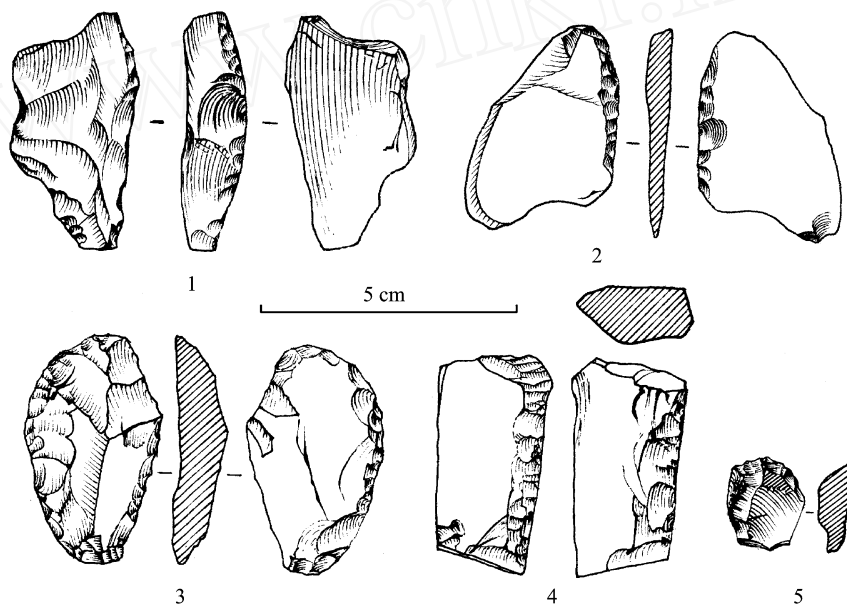


图 5 石器 Stone tools

1. Y032; 2. Y034; 3. Y047; 4. Y044; 5. Y031

### 3 拼合研究

尉家小堡遗址试掘面积不大,出土物也无坐标记录,但仍能作较好的拼合。572 件石制品中,可拼合者共 32 件,分为 13 组。拼合类型如下:

- a. 细石核 + 石片 = 4 组
- b. 细石核 + 石片 + 细石叶 = 2 组

- c. 石核 + 2 断块 + 石片 = 1 组
- d. 石核 + 断块 + 石片 = 1 组
- e. 石片 + 石片 = 1 组
- f. 石片 + 2 断块 = 1 组
- g. 石片 + 断块 = 2 组
- h. 断块 + 断块 = 1 组

拼合率为 5.6%。以下按不同的拼合类型分组,详述如下:

a. 第 1 组: Y001 Y002(图 6:1,2) 硅质岩,楔形石核 Y001 在制坯过程中产生石片。

第 2 组: Y020 Y019(图 4:6,7) 角砾岩,细石核 Y020 修整剥片面时打下石片,然后依据该石片形状压制成精致的刮削器。

第 3 组: Y012 Y013(图 4:8,9) 角砾岩,细石核 Y012 剥片失败,在与剥片面相对的一侧重新打下石片,以图找另一面继续剥片,但剥一片后废弃。

第 4 组: Y003 Y004(图 3:5,6) 硅质岩,最初以石核一侧为台面剥片失败,然后砸击产生两极石片 Y003, Y004 又经砸击,但未找到可拼合石片。

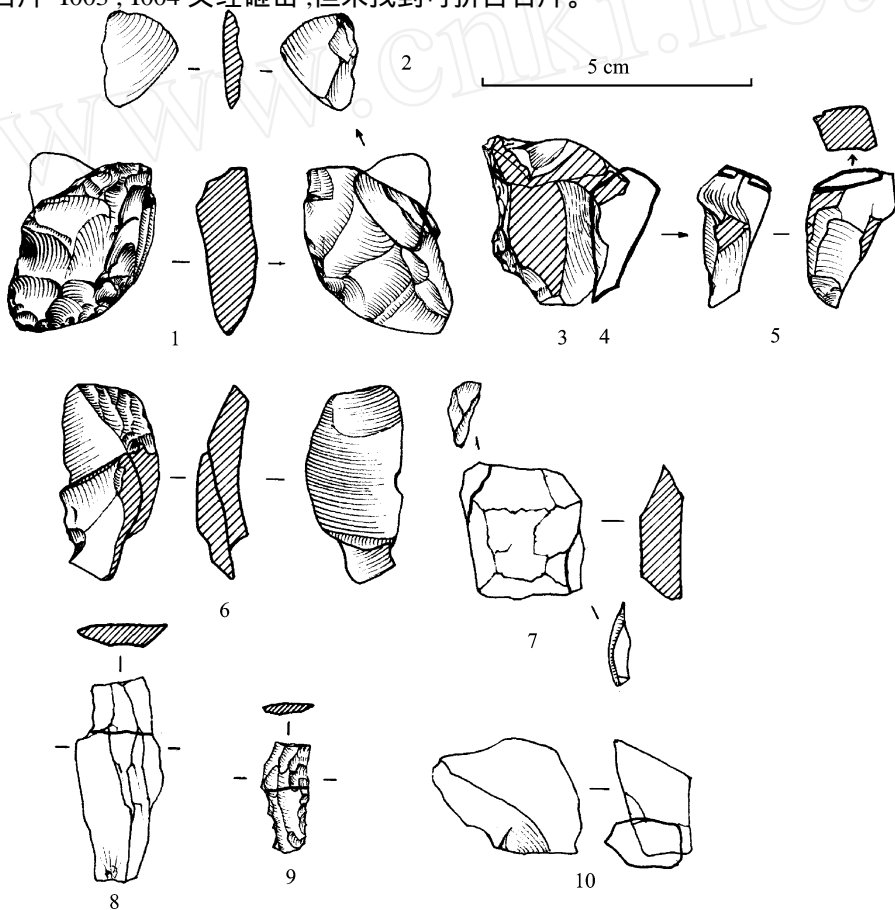


图 6 可拼合的石制品组合 Refitted artifacts groups

- 1. Y001 ; 2. Y002 ; 3. Y049 ; 4. Y050 ; 5. Y051 ; 6. Y028 , Y029 ; 7. Y036 , Y037 和 Y038 ;
- 8. Y039 和 Y040 ; 9. Y041 和 Y042 ; 10. Y023 和 Y024

b. 第 5 组: Y014 Y043 Y015(图 3:8,9,10) 角砾岩, 细石核 Y014 剥片崩断后修整剥片面而打下 Y043, 接着剥下细石叶 Y015。细石核充分利用原料, 从两个方向剥片。

第 6 组: Y016 Y017 Y018(图 4:3,4,5) 硅质岩, 楔形石核 Y016 制坯过程中产生石片, 后期又剥离产生细石叶。

c. 第 7 组: Y008 Y048 Y010 Y009(图 3:1,2,3,4) 硅质岩, 石核 Y008 打片产生 Y048, 打片过程中沿节理面依次产生两断片。

d. 第 8 组: Y049 Y050 Y051(图 6:3,4,5) 硅质岩, 石核 Y049 打片产生 Y050, 同时从石片 Y050 上沿节理断裂产生节理石片 Y051。

e. 第 9 组: Y028 Y029(图 6:6) 角砾岩, 为同一石核同一台面上的连续打片, Y029 只保留远端, 而 Y028 只保留近端, 两者都留有自然面。

f. 第 10 组: Y036 Y037—Y038(图 6:7) 石英岩, 打石片 Y036 时产生的两断片。

g. 第 11 组: Y040—Y039(图 6:8) 石英岩, 长形石片的近端与中端, 远端缺失。

第 12 组: Y041—Y042(图 6:9) 黑色燧石, 长形石片的近端与中端, 远端缺失。

h. 第 13 组: Y023—Y024(图 6:10) 硅质岩, 打片时同时崩落的两断块。

拼合研究结果几乎显示了此地石制品制作的全部过程, 包括石片的打制过程、细石核毛坯的打制过程、细石叶剥离过程、细石核的修整过程以及石制品的断裂。其中断裂数量较多的为质地不良的石英岩和节理发育的硅质岩, 反映出当地石料的局限性。

由于缺乏石制品出土时的三维空间信息, 所以无从研究石制品的空间位移情况, 更无法深入分析人类对遗址的空间利用和人类行为特点, 但是高拼合率的拼合研究有助于复原该地点石制品的加工技术并部分恢复当时人类的剥片技术行为。

## 4 总结与讨论

### 4.1 尉家小堡遗址的性质

尉家小堡遗址所出遗物在  $2\text{m}^2$  的范围内较密集的分布, 石制品与骨制品和装饰品出于同层, 且保存状况良好, 未见严重磨损和撞击痕迹; 石制品 5.6% 的较高拼合率也表明遗址在埋藏后未经较远距离的搬运, 当为一处原地埋藏遗址。

### 4.2 文化特征

尉家小堡遗址的石料以硅质岩和角砾岩为主, 还有少量各色的石英岩和燧石。西北与之相距不远的龙泉寺遗址<sup>[3]</sup>中, 脉石英成为使用最广泛的一种石料, 含量在 90% 以上, 而硅质灰岩、火山角砾岩以及石英岩等几种石料在遗址中比较少见, 含量尚不足 1%。可知旧石器时代晚期后段此地人类才开始远距离选择和搬运优质原料。

打片主要用锤击法, 偶用砸击技术, 压制法加工石器, 产生石片多长而薄; 石器均为石片毛坯, 类型单一, 全为刮削器, 压制法加工刃缘, 器刃平整而规范, 且以单面正向加工为主; 出土细石核全部为楔形石核, 制作精致, 一系列的阶段性产品较好地复原了其制作过程。石制品总体上属于典型的“中国北方主工业类型”<sup>[4]</sup>, 一系列楔形石核的出土也使尉家小堡遗址成为华北地区细石器工艺发展链中不可或缺的一环。

### 4.3 文化对比

尉家小堡遗址继承了华北地区旧石器时代细石器文化传统的特色, 表现出成熟的压制



技术和成套的楔形石核修理技术。尉家小堡遗址有可能成为一些研究者所主张的华北细石器从山西西南部起源、并向北翼发展<sup>[5]</sup>假说的重要实证,如楔形石核中出现了自然节理台面石核,而在下川文化<sup>[6-7]</sup>的楔形石核中就有相当一部分的台面不加修整而直接从自然台面上剥落小石片或细石叶。石器加工方面,其中较典型的一件短身圆头刮削器 Y031(图 5:5),器形已很规整,与山西的下川文化(此器形占有所有刮削器的 63%)、柿子滩文化<sup>[8]</sup>中的短身圆头刮削器在形制及打制方法上保持一致。

另外,尉家小堡遗址在继承中也发展了自己的区域文化特色,即较特殊的楔形石核加工工艺。在其所处的泥河湾盆地桑干河流域第二阶地中上部或相当这一时期的马兰黄土中,也发现过一批细石器与尉家小堡遗址很一致的文化遗存<sup>[9]</sup>,其分布从泥河湾盆地东部油坊到西部神泉堡一带,代表性的有籍箕滩<sup>[2]</sup>、虎头梁<sup>[1]</sup>、油房<sup>[10]</sup>等。

虎头梁遗址发现于桑干河第二阶地,处旧石器时代较晚阶段,细石核以楔形石核为主,但典型石器为各种类型的尖状器;它与尉家小堡遗存同属典型细石器传统,但又存在较大差异,二者可能属于同一技术传统的不同类型。虎头梁文化中石器类型的多样化与进步性表明尉家小堡的年代略早一些。

籍箕滩遗址位于桑干河南岸,距离虎头梁遗址群不远,文化遗物埋藏在桑干河支流第二阶地堆积的中上部。籍箕滩遗址与虎头梁遗址群的地层层位相当,内涵相近,一直被认为是同一时期分布在桑干河两岸的姊妹文化。但尉家小堡遗址的文化内涵更接近籍箕滩遗址,如刮削器的数量及所占比例,其中楔形石核的各种类型也可在籍箕滩遗址中找到。

油坊遗址埋藏在晚更新统黄土层中,其时代应属旧石器时代晚期偏晚阶段,但可能早于虎头梁文化。其细石核以楔形石核为主,但也出现尉家小堡所不见的船底形石核和柱形石核。石器类型中占到一半的为刮削器,小型圆头刮削器与雕刻器也采用压制技术,但存在较多的锤击石核、石片和锤击法修理的较粗糙的石器。其文化内容、形式似不同于虎头梁与籍箕滩,但具有与尉家小堡同时代的特色或稍逊的工艺水平。

通过比较,尉家小堡石制品的工艺水平应介于虎头梁和油坊之间,而在石制品的加工方法及石器组合等文化面貌上却更近于籍箕滩遗址。

尉家小堡遗址的文化时代上应为旧石器时代晚期之末,即距今约 1 万年左右。

## 参考文献:

- [1] 盖培,卫奇. 虎头梁旧石器时代晚期遗址的发现[J]. 古脊椎动物与古人类,1977,15(4):287-300.
- [2] 谢飞,李瑛. 籍箕滩旧石器晚期细石器遗存[J]. 文物春秋,1993,(2):1-22.
- [3] 杜水生,陈哲英. 山西阳高神泉寺遗址石制品的初步研究[J]. 人类学学报,2002,21(1):50-58.
- [4] 张森水. 管窥新中国旧石器考古学的重大发展[J]. 人类学学报,1999,18(3):193-214.
- [5] 谢飞. 河北旧石器时代晚期细石器遗存的分布及在华北马蹄形分布带中的位置[J]. 文物春秋,2000,(2):15-25.
- [6] 王建,王向前,陈哲英. 下川文化——山西下川遗址调查报告[J]. 考古学报,1978,(3):259-288.
- [7] 王建,王益人. 下川细石核形制研究[J]. 人类学学报,1991,10(1):1-8.
- [8] 山西省临汾行署文化局. 山西吉县柿子滩中石器文化遗址[J]. 考古学报,1989,(3):305-323.
- [9] 杜水生,钟家让. 泥河湾盆地旧石器时代晚期考古地质序列的建立及意义[A]. 见山西省考古学会,山西省考古研究所编. 山西省考古学会论文集(三)[C]. 山西古籍出版社,2000:206-211.
- [10] 谢飞,成胜泉. 河北阳原油房细石器发掘报告[J]. 人类学学报,1989,8(1):59-68.

## A Preliminary Observation and Study on the Stone Artifacts from the Yujiaxiaobu Site, Yanggao County, Shanxi

SONG Yan-hua<sup>1</sup>, SHI Jin-ming<sup>2</sup>

(1. Shanxi University, Taiyuan 030006; 2. Institute of Shanxi Archaeology, Taiyuan 030001)

**Abstract:** Yujiaxiaobu site was discovered in July, 1996, which located at 1500m to the south of Shenquanbu village and 1000m to the northwest of Yujiaxiaobu village, Yanggao County, Shanxi Province.

A total of 572 pieces typical microlithic stone artifacts were found from a 2m<sup>2</sup> area in the bottom of the Late Pleistocene loess. The stone artifacts include cores, flakes, micro-cores, micro-blades, implements and debris. The implements are all scrapers. Raw materials are mainly silicalite and volcanic. A special technology of wedge-shaped microcore is known from here. The study of systemic refitting and comparing shows that it's an undisturbed site.

Comparing the stone artifacts and cultural character with other Late Pleistocene sites in Nihewan Basin, Yujiaxiaobu site can be attributed to the Upper Paleolithic.

**Key words:** Microlithic artifacts; Systemic refitting; End of the Upper Paleolithic; Yujiaxiaobu site